

## مقایسه عملکرد ادوات Custom Power جهت بهبود کیفیت توان در شبکه های صنعتی

سید حمید فتحی\*

مهرداد عابدی\*

گورگ قره پیان\*

رضا نوروزیان\*\*\*

قطب علمی قدرت-دانشکده مهندسی برق-دانشگاه صنعتی امیرکبیر\*

گروه مطالعات مهندسی توزیع - شرکت برق منطقه‌ای تهران\*\*

[noroozian@cic.aut.ac.ir](mailto:noroozian@cic.aut.ac.ir)

.UPQC, DVR, D-STATCOM, Custom Power، واژه‌های کلیدی: کیفیت برق، شبکه توزیع،

چکیده

امروزه یکی از این روش‌ها بهسازی کیفیت برق، تکنولوژی جدیدی تحت عنوان ادوات Custom Power است. در این مقاله یک شبکه توزیع صنعتی نمونه جهت مطالعات کیفیت توان انتخاب شده و سپس نتایج شبیه‌سازی در فیدر مذکور با بکارگیری ادوات Custom Power در حالت‌های مختلف ارائه می‌شوند و در هر یک از حالت‌ها عملکرد ادوات UPQC، DVR و D-STATCOM مورد بررسی و مقایسه قرار می‌گیرند. در انتهای تجهیز مناسب و قابلیت‌های هر یک از ادوات برای پالایش آلدگی‌های کیفیت توان پیشنهاد می‌شود.

### ۱- مقدمه

طبيعت متغير بارهای مشترکين در سالهای اخیر بطور قابل ملاحظه‌ای توقعات مشترکين را برای داشتن کيفيت بهتر و قابلیت اطمینان بیشتر افزایش داده است. وقوع وقفات موقتی، اغتشاشات ولتاژ یا اعوجاجات شکل موجی که تا چند سال پیش بی اهمیت محسوب می‌شد هم اکنون برای بارهای مدرن امروزی نقش مخربی را ایفا می‌نمایند. مهندسین توزیع با مسئولیت نسبتاً سنگینی رو برو هستند از این جهت که آنها بایستی سیستم توزیعی طراحی یا انتخاب نمایند که نه تنها بر طرف کننده نیازهای مشترکین امروز باشد بلکه توانایی برآورده نمودن تقاضاهای سالهای آینده را نیز داشته باشد. استفاده از تجهیزات بهساز چه سنتی [۱] و چه پیشرفته (ادوات Custom Power) [۲] و [۳] ممکن است در سیستم‌های شعاعی (دارای بارهای حساس و غیرخطی و با فیدرهای طولانی) برای دسترسی به کیفیت بهتر لازم گردد. مهندسین توزیع بایستی با در نظر قرار دادن ساختارهای موجود، قابلیت و توانایی این ادوات را در جهت یک تأمین توان پاک برای شبکه‌های توزیع در نظر بگیرند. در این نوشتار برای مقایسه و ارزیابی عملکرد ادوات Custom Power در شبکه‌های توزیع رفتار آنها در فیدرهای شعاعی بررسی شده است چون فیدرهای شعاعی بدترین معماری و رده را از لحاظ کیفیت توان دارند [۴].

### ۲- معرفی ادوات بهساز

از آنجائیکه گسترش آلدگی‌های کیفیت برق در آینده می‌تواند مشکلات زیادی را بوجود آورد. بنابراین اعمال راهکارهای برای پیشگیری و اصلاح شبکه بسیار ضروری و فوری است. در وحله اول تغییر ساختار شبکه، اصلاح و بهینه‌سازی شبکه و بهره‌برداری مناسب، راه حل‌های منطقی بنظر می‌رسند. ولی بطور کلی می‌توان برای پالایش آلدگی‌های کیفیت توان سه راه حل ارائه داد [۵]:

- حذف یا بهبود منابع اغتشاش،
- حذف یا اصلاح مسیرهایی که رابط منابع اغتشاش هستند

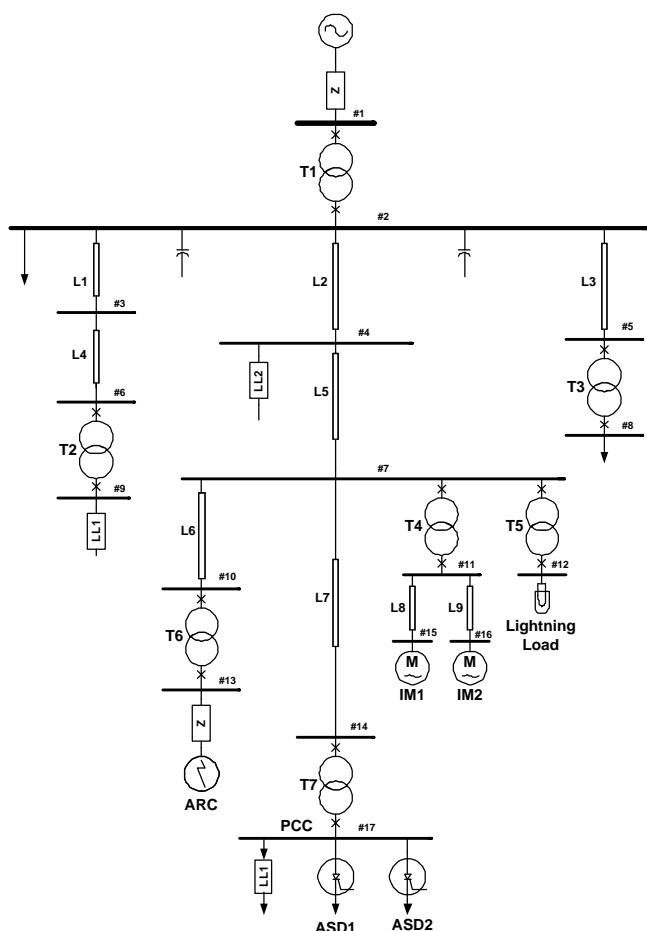
### استفاده از ادوات بهساز

معمولًا برای انتخاب هر یک از روش‌های ارائه شده باید مطالعات دقیقی صورت گیرد تا بتوان به راه حل مفید، موثر و بهینه رسید که هم از نظر فنی و هم از نظر اقتصادی مقرون به صرفه باشد. این مطالعات باید با همکاری شرکت‌های برق و مشترکین صورت گیرد تا بتوان با کیفیت مطلوب به مشترکین تحويل داده شود. اگرچه گزینه استفاده از ادوات Custom Power بهترین راه حل برای بسیاری از مسائل شبکه می‌باشد [۱، ۲، ۳، ۴] ولی ممکن است از نظر اقتصادی استفاده از آنها امکان پذیر نباشد. این تجهیزات برای رفع مشکلات مربوط به کمبود ولتاژ (Sag)، کاهش ولتاژ، قطع ناگهانی، نوسانات ولتاژ (فلیکر) و جبرانسازی هارمونیکی و توان راکتیو مناسب به نظر می‌رسند. عموماً تکنولوژی‌ها و ادوات زیر برای حل مسائل کیفیت توان وجود دارند:

- D-STATCOM (Distribution STATic COMPensator)
- DVR (Dynamic Voltage Restore)
- UPQC (Unified Power Quality Conditioner)

### ۳- معرفی شبکه نمونه

شکل (۱) نمایش دهنده دیاگرام تک خطی شبکه توزیع صنعتی انتخابی است. این شبکه در نرم افزار PSCAD/EMTDC شبیه‌سازی شده است [۶ و ۷]. تغذیه سیستم در شبکه با مدار معادل سیستم در سطح ولتاژ ۶۳ کیلو ولت و با استفاده از راکتانس اتصال کوتاه در پست بالادست مدل شده است.



شکل (۱) دیاگرام نمونه فیدر صنعتی شبکه توزیع

به این سیستم‌ها با توجه به خصوصیات مربوطه یک مجموعه از بارهای غیرخطی، خطی و حساس وصل شده‌اند و اثرات آنها در ایجاد اغتشاشات کیفیت قوان بررسی شده‌اند. در جبرانسازی اغتشاشات با استفاده از ادوات Custom Power، یکسری اغتشاش در طرف مصرف کننده (روی جریان بار) مدل می‌شود و اغتشاشات دیگری در طرف فشار متوسط باس توزیع (۲۰ کیلو ولت) مدل می‌گردد. این باس، بارهای موتوری، غیر خطی و خطی را تغذیه می‌کند. اتصال کوتاه‌های سه فاز، تکفاز و دو فاز بهم جهت ایجاد sag و swell و لیتل‌سیکل در طرف فشار متوسط (۲۰ کیلو ولت) به شبکه نمونه اعمال می‌شود. همچنین برای مدل کردن sag و لیتل‌سیکل طولانی مدت می‌توان از راهاندازی موتور القابی استفاده نمود. نتایج شبیه‌سازی در فیدر مذکور با بکارگیری ادوات Custom Power در حالت‌های مختلف ارائه می‌شوند و در هر یک از حالت‌ها عملکرد ادوات DVR، D-STATCOM و UPQC مورد بررسی و مقایسه قرار می‌گیرند. در مورد مدل بارهای بکارگرفته شده در هر یک از فیدرها و اطلاعات استفاده شده به پیوست (الف) مراجعه شود.

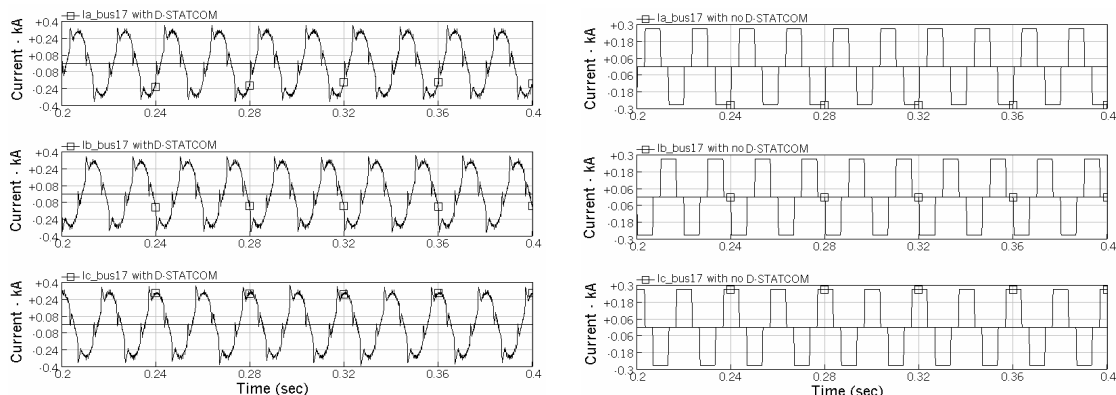
#### ۴- بررسی شبیه‌سازی‌ها در فیدر صنعتی

##### ۴-۱- اثر کارکرد D-STATCOM در فیدر صنعتی

عنصر بھساز D-STATCOM به باس (۵) شبکه نمونه بطور موازی نصب شده است. حالت‌های مختلف شبیه‌سازی شده در ذیل آورده شده است. چون هدف از بکارگیری D-STATCOM بھسازی بار مشترکین است از این‌رو این وسیله در سر بار مشترکین (طرف ۴۰۰ ولت) نصب شده است. روش کنترل انتخابی در [۸] ارایه شده است.

##### حالت ۱: بھسازی اعوجاج هارمونیکی و کمبود توان راکتیو

شکل موج سه فاز جریان‌های بار در باس PCC (باس ۱۷ در شکل (۱)) قبل از بھسازی در شکل (۲) نمایش داده شده است. در این حالت جریان بار دارای اعوجاج هارمونیکی است و تقاضای توان راکتیو از شبکه دارد. شکل (۳) جریان سه فاز باس PCC را بعد از عملکرد D-STATCOM نشان می‌دهد. با توجه به شکل (۳)، با فعال شدن D-STATCOM تمام مولفه‌های هارمونیکی و کمبود توان راکتیو جبرانسازی شده‌اند.



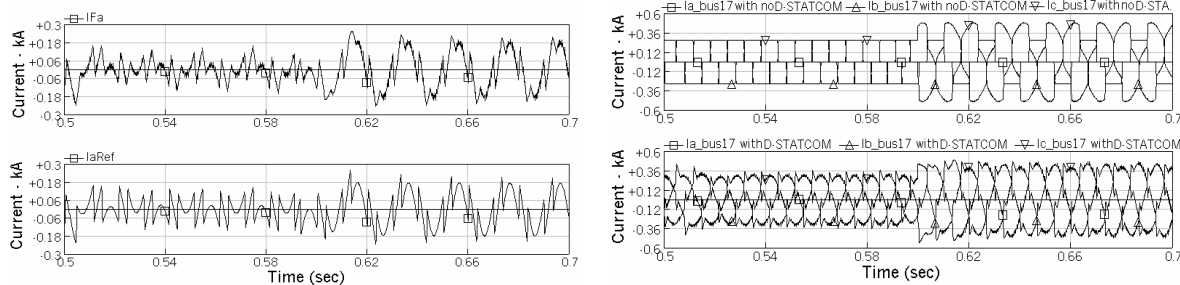
شکل (۳) جریان در باس PCC با حضور D-STATCOM

شکل (۲) جریان در باس PCC بدون حضور D-STATCOM

##### حالت ۲: بھسازی اعوجاج هارمونیکی، کمبود توان راکتیو و عدم تعادل

شکل موج سه فاز جریان‌های بار در باس PCC قبل و بعد از بھسازی در شکل (۴) نشان داده شده است. در این حالت بار ۱۶ اهمی بر سر بار تریستوری بین فازهای *a* و *b* جهت ایجاد نامتعادلی شبیه‌سازی شده است. جریان بار دارای اغتشاش هارمونیکی، نامتعادلی و کمبود توان راکتیو است. با توجه به شکل (۴)، با فعال شدن D-STATCOM جبرانسازی بطور مطلوب انجام شده است و جریان سینوسی متعادل از باس توزیع کشیده شده است. در این حالت جریان بار در  $t = 0.3$  تغییر ناگهانی می‌کند. همانطور که ملاحظه می‌شود عملکرد دینامیکی D-STATCOM به تغییرات ناگهانی بار در شکل (۴) قابل توجه است. همچنین دیده می‌شود که جریان سه

فاز متعادل سینوسی از بس توزیع کشیده می شود. شکل (۵) جریان فاز  $a$  را که توسط مبدل D-STATCOM تولید شده همراه با جریان مرجع تولیدی فاز  $a$  که توسط مدار کنترلی تولید شده مقایسه می کند. مطابق شکل (۵)، مشاهده می شود هارمونیک های جریان نامتعادلی و جریان توان را کنیو لحظه ای در جریان های تزیری و مرجع ظاهر شده اند و هر دو جریان بطور مشابه تغییرات را دنبال می کند. بنابراین مدار کنترلی استفاده شده صحیح کار می کند.



شکل (۵) جریان تزیری فاز  $a$  قسمت موازی D-STATCOM  
همراه با جریان مرجع تولیدی توسط مدار کنترلی

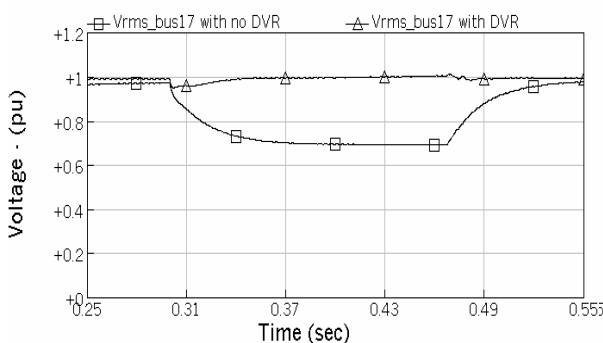
شکل (۴) جریان لحظه ای سیستم بدون و با حضور D-STATCOM

#### ۴-۲-۱ اثر کارکرد DVR در فیدر صنعتی

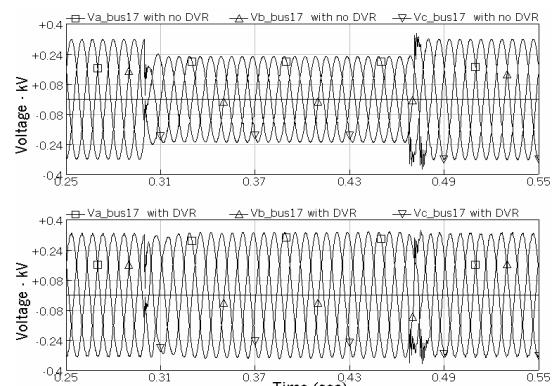
عنصر بهسازی DVR در بس (۱۴) در شبکه توزیع شکل (۱) نصب شده است. حالت های مختلف شبیه سازی در ذیل آورده شده است. چون هدف از بکارگیری DVR بهسازی شبکه است از اینرو در طرف شبکه (طرف ۲۰ کیلو ولت) بطور سری نصب شده است. از طرفی اثر آلودگی های کیفیت توان ناشی از شبکه نیز در طرف ۲۰ کیلو ولت بیشتر است. روش کنترلی انتخابی در [۸] مطرح شده است.

##### حالت ۱: آلودگی کیفیت توان ناشی از اتصال کوتاه سفراز به زمین

شکل (۶) شکل موج ولتاژ های سه فاز بس (۱۴) (انتهای خط ۷) در فیدر صنعتی را قبل و بعد از بهسازی (برای اتصال کوتاه سه فاز به زمین) نشان می دهد. شکل (۷) پریونیت ولتاژ شبکه را قبل و بعد از بهسازی نشان می دهد. با توجه به شکل های (۶) و (۷) با بروز اتصال کوتاه سه فاز به زمین (در سطح ولتاژ ۲۰ کیلو ولت) در بس (۶) (انتهای خط ۴)، کمبود ولتاژ بیشتر از ۳۵ درصد می باشد. DVR توانسته است با اضافه کردن ولتاژ سنکرون به ولتاژ بس عمل بهسازی را انجام دهد و ولتاژ تا ۹۹٪ بهبود یافته که طبق استاندارد مقدار مطلوبی است. با بروز اتصال کوتاه سه فاز به زمین در سطح ولتاژ ۶۳ کیلو ولت، کمبود ولتاژ بیشتر از ۲۰ درصد می باشد. باز DVR توانسته است عمل بهسازی را بصورت مطلوب انجام می دهد. در این حالت شکل (۸) شکل موج ولتاژ های سه فاز بس (۱۴) (انتهای خط ۷) در فیدر صنعتی قبل و بعد از جبرانسازی را برای اتصال کوتاه سه فاز به زمین نشان می دهد.



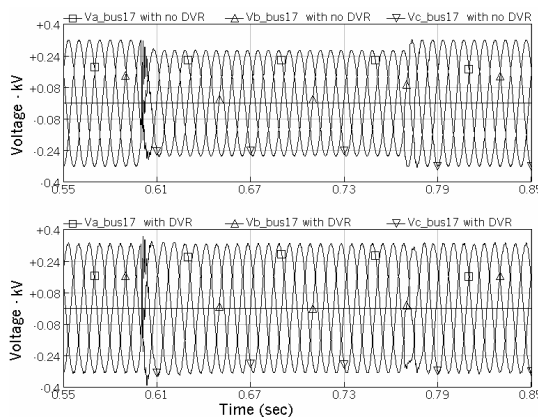
شکل (۷) مقدار موثر ولتاژ قبل و بعد از جبرانسازی توسط DVR



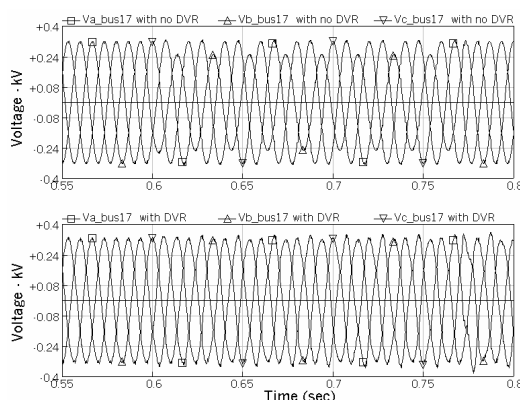
شکل (۶) جبرانسازی کمبود ولتاژ ناشی از اتصال کوتاه سه فاز به زمین توسط DVR

### حالت ۲: کمبود ولتاژ ناشی از اتصال کوتاه تکفاز به زمین

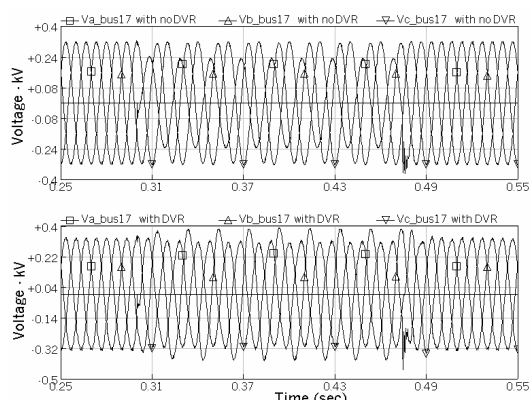
در این حالت فرض شده است که اتصال کوتاه تکفاز به زمین (در سطح ولتاژ ۲۰ کیلوولت) در شین (۶) و در فاز  $a$  در لحظه  $t = 0.3$  رخ می‌دهد. وقوع این اتصال کوتاه نامتقارن، باعث ایجاد کمبود ولتاژ در فاز  $a$  و بیشبورد در فازهای دیگر می‌گردد. شکل (۹) شکل موج ولتاژهای سه فاز را قبل و بعد از بهسازی نشان می‌دهد. همچنین، شکل‌های (۱۰) شکل موج ولتاژهای سه فاز را برای اتصال کوتاه تکفاز به زمین (در طرف ۶۳ کیلوولت) قبل و بعد از بهسازی نشان می‌دهند. با توجه به شکل‌های مذکور DVR به سرعت، کمبودها و بیشبورد روی ولتاژ فازها را اصلاح کرده است.



شکل (۸) جبرانسازی کمبود ولتاژ ناشی از اتصال کوتاه سه فاز (۶۳) به زمین توسط DVR



شکل (۱۰) جبرانسازی کمبود و بیشبورد ولتاژ ناشی از اتصال کوتاه تک فاز به زمین

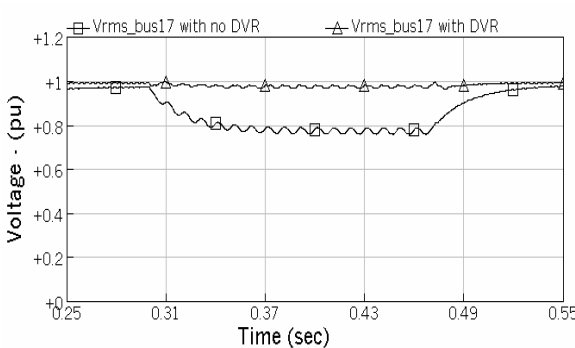


شکل (۹) جبرانسازی کمبود و بیشبورد ولتاژ ناشی

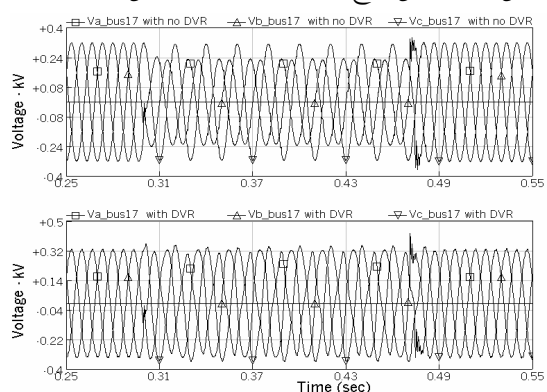
از اتصال کوتاه تک فاز به زمین

حالت ۳: کمبود ولتاژ ناشی از اتصال دوفاز به زمین

شکل (۱۱) شکل موج ولتاژهای سه فاز و شکل (۱۲) مقدار موثر ولتاژ شبکه را قبل و بعد از بهسازی نشان می‌دهد.



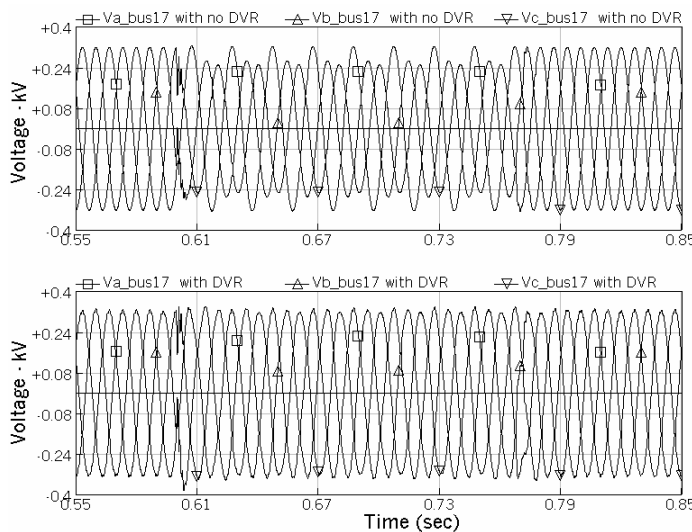
شکل (۱۲) مقدار موثر ولتاژ قبل و بعد از جبرانسازی توسط DVR



شکل (۱۱) جبرانسازی کمبود و بیشبورد ولتاژ ناشی از

اتصال کوتاه دو فاز به زمین

در این حالت اتصال کوتاه دوفاز به زمین در شین (۶) و در فاز  $a$  و  $b$  در لحظه  $t = 0.3$  رخ می‌دهد. قوعه این اتصال کوتاه نامتقارن، باعث ایجاد کمبود ولتاژ در حدود ۲۰ درصد و بیشود در در حدود ۱۰ درصد می‌گردد. برای اتصال کوتاه دوفاز بهم در سطح ولتاژ ۶۳ کیلوولت شکل موجهای (۱۳) شکل موج ولتاژهای سه فاز شبکه را قبل و بعد از بهسازی نشان می‌دهند. با توجه به شکل‌های (۱۱)، (۱۲)، (۱۳) DVR به سرعت، کمبودها و بیشود روی ولتاژ فازها را بهسازی کرده است.



شکل (۱۳) کمبود و بیشود ولتاژ ناشی از اتصال کوتاه دو فاز به زمین

#### ۴-۳-۱ اثر کارکرد UPQC در فیدر صنعتی

عنصر بهساز UPQC در بین بس (۱۷) و بس (۱۸) شبکه توزیع صنعتی نمونه نصب شده است. حالت‌های مختلف شبیه‌سازی در ذیل آورده شده است. روش کنترلی انتخابی در [۸] مطرح شده است.

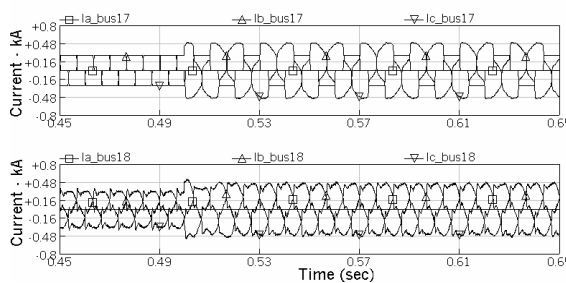
##### حالات: ۱: بهسازی اعوجاج هارمونیکی و توان راکتیو

شکل موج سه‌فاز جریان‌های بار در بس (۱۷) و بس (۱۸) بترتیب قبل و بعد از بهسازی در شکل (۱۴) نشان داده شده‌اند. در این حالت جریان بار تقاضای توان راکتیو جهت تصحیح ضریب قدرت دارد و آلوهه به هارمونیکهایست. با توجه به شکل (۱۴)، با حضور UPQC تمام مولفه‌های هارمونیکی توسط شاخه موافق UPQC، جبرانسازی شده و جریان سینوسی متعادل از بس توزیع کشیده می‌شود.

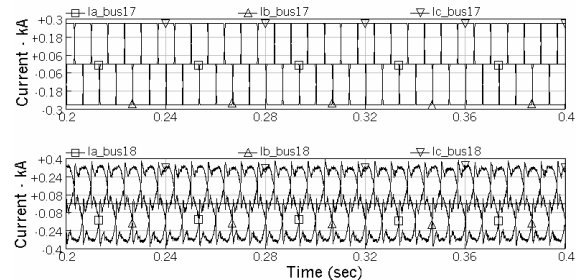
##### حالات: ۲: بهسازی اعوجاج هارمونیکی، توان راکتیو و عدم تعادل

در این حالت بار ۲/۵ اهمی بر سر بار تریستوری بین فازهای  $a$  و  $b$  جهت ایجاد نامتعادلی شبیه‌سازی شده است. جریان بار دارای اغتشاش هارمونیکی، نامتعادلی و متقارضی توان راکتیو جهت تصحیح ضریب قدرت است. شکل (۱۵) جریان سه فاز بس (۱۷) و بس (۱۸) را قبل و بعد از حضور UPQC نشان می‌دهد. با توجه به شکل (۱۵)، با فعال شدن UPQC آلوهگی‌های موجود در جریان بار و نامتعادلی توسط قسمت موافق UPQC، تا حدود زیادی جبرانسازی شده‌اند و جریان متعادل از بس توزیع کشیده شده است. یکی دیگر از قابلیت‌های مدار کنترلی پیشنهادی توانائی آن در تطبیق پارامترهای خود و خروجی مبدل با تغییرات بار است. با توجه به شکل (۱۵)، در  $t = 0.3$  s بار سه فاز (ASD) وارد مدار می‌شود و دامنه جریان بار زیاد می‌شود. به تبع آن مدار کنترلی بر حسب شرایط جدید بار عکس العمل نشان داده جریان بار را اصلاح می‌کند. همانطور که ملاحظه می‌شود عملکرد دینامیکی UPQC به تغییرات ناگهانی بار در شکل (۱۵) قابل توجه است. همچنین دیده می‌شود که جریان سه فاز متعادل از بس توزیع کشیده می‌شود. شکل (۱۶) جریان تغذیه به فاز  $c$  را که توسط مبدل موافق UPQC تولید شده همراه با جریان مرجع تولیدی فاز  $c$  که توسط مدار کنترلی قسمت موافق UPQC تولید شده مقایسه می‌کند. مطابق شکل (۱۶)، مشاهده می‌شود هارمونیکهای جریان و جریان توان راکتیو لحظه‌ای در جریان‌های توزیعی

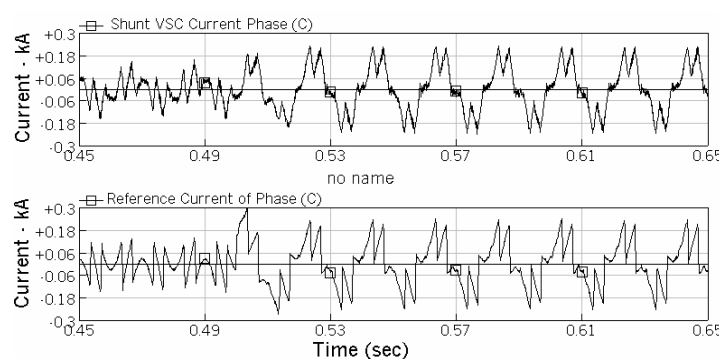
و مرجع ظاهر شده اند. همچنین بعلت تغییرات دینامیکی جریان بار در این حالت جریان مدار کنترلی و نیز جریان تزریقی بسرعت تغییر کرده است. هر دو جریان بطور مشابه تغییرات را دنبال می کند. بنابراین مدار کنترلی استفاده شده صحیح کار می کند.



شکل (۱۵) جریان های لحظه ای سیستم بدون حضور UPQC



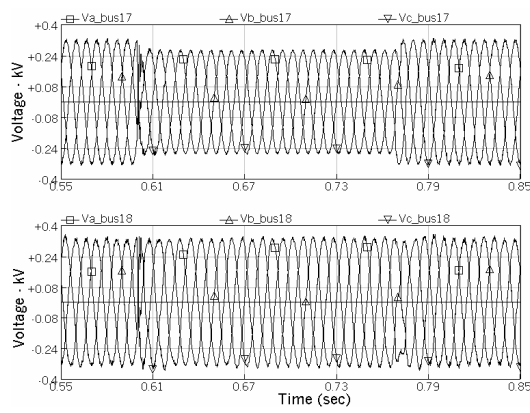
شکل (۱۴) جریان در باس PCC بدون و با حضور UPQC



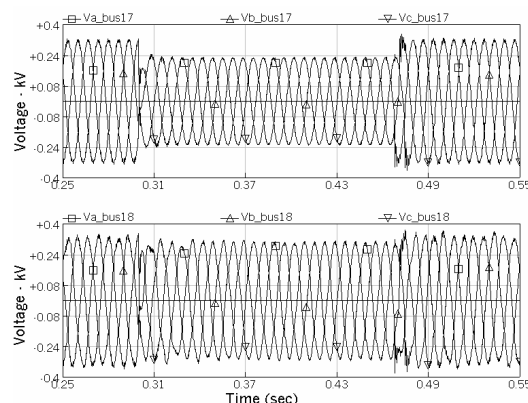
شکل (۱۶) جریان تزریقی فاز C همراه با جریان مرجع تولیدی توسط مدار کنترلی UPQC

### حالات ۳: کمبود ولتاژ ناشی از اتصال سفار

شکل (۱۷) شکل موج ولتاژهای سه فاز باس (۱۷) و باس (۱۸) قبل و بعد از عملکرد UPQC را برای اتصال کوتاه سه فاز به زمین (در طرف ۲۰ کیلوولت در باس ۶) نمایش می دهد. همچنین، شکل (۱۸) شکل موج ولتاژهای سه فاز باس (۱۷) و باس (۱۸) قبل و بعد از عملکرد UPQC را برای اتصال کوتاه سفار (در طرف ۶۳ کیلوولت) نشان می دهد. با توجه به شکل های مذکور با وقوع اتصال کوتاه در باس (۶)، کمبود ولتاژ بیشتر از ۲۰ درصد می باشد. قسمت سری UPQC با اضافه کردن ولتاژ سنکرون به ولتاژ باس، عمل بهسازی را انجام می دهد و ولتاژ سینوسی متعادل به بار تحویل داده می شود.



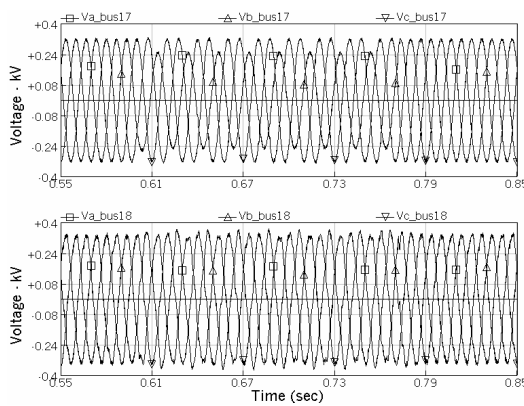
شکل (۱۸) جبرانسازی کمبود ولتاژ ناشی از اتصال کوتاه سه فاز به زمین



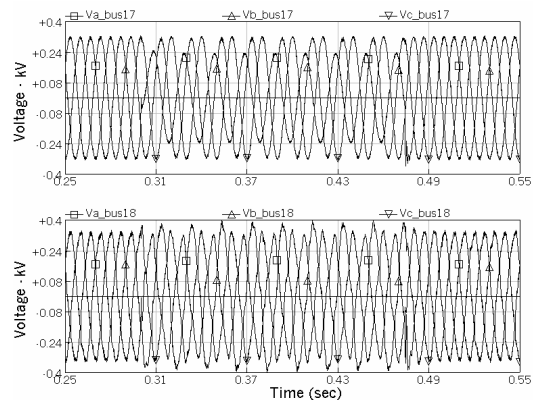
شکل (۱۷) جبرانسازی کمبود ولتاژ ناشی از اتصال کوتاه سه فاز به زمین

#### حالت ۴: کمبود و بیشبود ولتاژ ناشی از اتصال تکفار

در اینجا فرض بر این است که اتصال کوتاه تکفار به زمین در شین (۶) و در فاز  $a$  در لحظه  $t = 0.3$  رخ می‌دهد. قوع این اتصال کوتاه نامتقارن، باعث ایجاد کمبود و لتاژ در فاز  $a$  و بیشبود در فازهای دیگر می‌گردد. نتایج حاصل از شبیه‌سازی در شکل (۱۹) نشان داده شده است. با توجه به شکل (۱۹) UPQC به سرعت، اغتشاش ایجاد شده را برطرف نموده و کمبودها و بیشبودهای ولتاژ را اصلاح می‌کند. شکل (۲۰) شکل موج ولتاژهای سه فاز باس (۱۷) و باس (۱۸) را قبل و بعد از حضور UPQC برای اتصال کوتاه تکفار (در طرف ۶۳ کیلوولت) نشان می‌دهد. با توجه به شکل (۲۰) نا متعادلی ولتاژ با حضور UPQC بر طرف شده است.



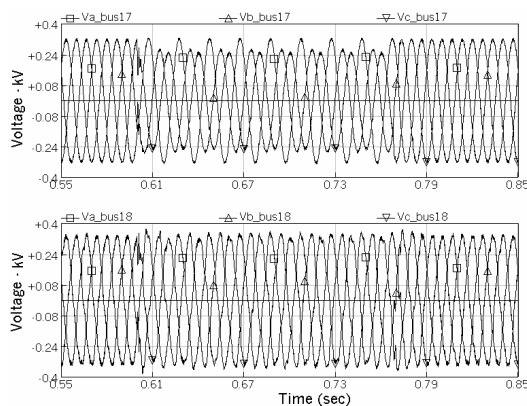
**شکل (۲۰) ولتاژهای بهسازی قسمت سری UPQC**  
در اتصال کوتاه تکفار



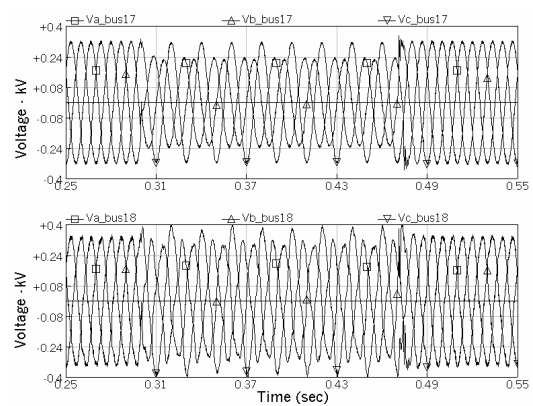
**شکل (۱۹) جبرانسازی کمبود و بیشبود ولتاژ ناشی از اتصال کوتاه تک فاز به زمین**

#### حالت ۵: کمبود ولتاژ ناشی از اتصال کوتاه فاز به فاز

در این حالت، اتصال کوتاه دو فاز به زمین در شین (۶) و در فاز  $a$  و  $b$  در لحظه  $t = 0.3$  رخ می‌دهد. قوع این اتصال کوتاه نامتقارن، باعث ایجاد کمبود و لتاژ در فاز  $a$  و بیشبود در فازهای دیگر می‌گردد. نتایج حاصل از شبیه‌سازی در شکل (۲۱) نشان داده شده است. با توجه به شکل (۲۱) UPQC به سرعت، اغتشاش ایجاد شده را برطرف نموده و نا متعادلی، کمبودها و بیشبودهای ولتاژ را بهسازی می‌کند. شکل (۲۲) شکل موج ولتاژهای سه فاز باس (۱۷) و باس (۱۸) را قبل و بعد از حضور UPQC را برای اتصال کوتاه دو فاز (در طرف ۶۳ کیلوولت) نشان می‌دهد. با توجه به شکل (۲۲) نا متعادلی ولتاژ با حضور UPQC بر طرف شده است.



**شکل (۲۲) بهسازی ولتاژ توسط UPQC در اتصال کوتاه دو فاز بهم**



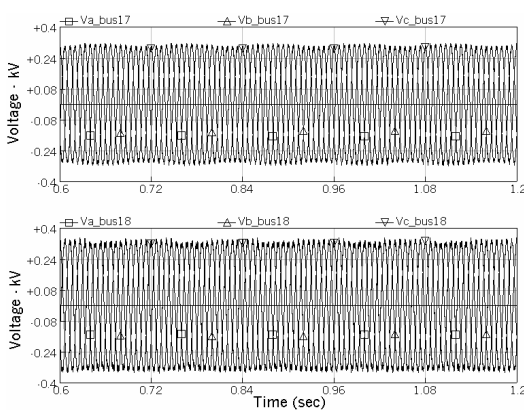
**شکل (۲۱) بهسازی ولتاژ توسط UPQC در اتصال کوتاه دو فاز بهم**

### حالت ۶: کمبود ولتاژ ناشی از راهاندازی موتور القایی بزرگ

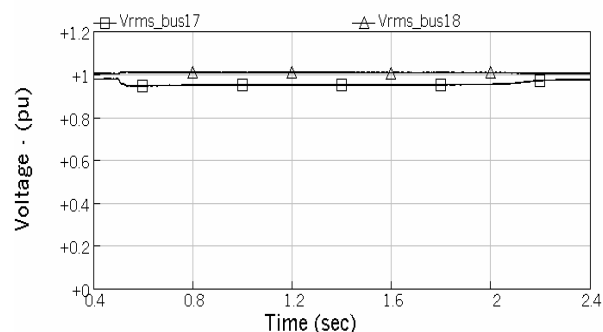
برای ایجاد Sag ولتاژ ناشی از راهاندازی موتورهای القایی دو موتور در بس (۱۵) و (۱۶) در لحظه  $t = 0.5s$  بطور همزمان راهاندازی می شوند. ولتاژ بس (۱۷) و ولتاژ بس (۱۸) در شکل (۲۳) نشان داده شده است. با توجه به شکل مذکور وضعیت پروفیل ولتاژ در بس اصلی موتور خوب نبوده و به یک پریونیت نرسیده است. این کمبود ولتاژ در هر بار راه اندازی، PCC را تحت تأثیر می گذارد. با توجه به شکل پروفیل ولتاژ، با عملکرد UPQC توانسته است بارهای حساس را از یک Sag ولتاژ طولانی مدت حفاظت کند.

### حالت ۷: جبرانسازی فیلکر ولتاژ

در این مرحله، کوره قوس الکتریکی وارد مدار می شود. با توجه به ماهیت غیرخطی کوره، ولتاژ بس (۱۳) دارای نوسانات ولتاژ و فیلکر در ولتاژ است. این فیلکر، به بس PCC منتقل شده است. مقدار این نوسانات در حدود ۲۰ درصد و فرکانس فیلکر آن  $8/8$  هرتز است. شکل موج های ولتاژ بس (۱۷) و بس (۱۸) به ترتیب قبل و بعد از جبرانسازی در شکل (۲۴) نشان داده شده است. همانطور که از این شکل های دیده می شود با حضور PCC دارای دامنه ثابت شده است.



شکل (۲۴) شکل موج های سه فاز بس PCC قبل و بعد از جبرانسازی



شکل (۲۳) ولتاژ بس PCC قبل و بعد از بهسازی توسط UPQC

### ۵- نتیجه گیری

بر اساس شبیه سازی های انجام شده در این نوشتار می توان نتیجه گرفت که در یک شبکه توزیع با فیدر صنعتی D-STATCOM باعث می شود که جبرانسازی اعوجاج هارمونیکی، جبرانسازی توان راکتیو، جبرانسازی توالی منفی جریان و بهسازی عدم تعادلی جریان بطور مناسب انجام گردد. عملکرد DVR باعث جبرانسازی اعوجاج هارمونیکی ولتاژ، بهسازی عدم تعادلی ولتاژ و کمبود و بیش بود ولتاژ می شود. عملکرد UPQC باعث جبرانسازی همزمان اعوجاج هارمونیکی و بهسازی عدم تعادلی ولتاژ و جریان و بهسازی کمبود و بیش بود، جبرانسازی نوسانات ولتاژ (فیلکر) می شود. در مقایسه عملکرد این سه عنصر در فیدر صنعتی می توان گفت که DVR حفاظت از بارهای حساس در مقابل اغتشاشات ولتاژ شبکه مفید است و D-STATCOM حفاظت از شبکه را در مقابل اغتشاشات جریان (بار مشترکین) مفید می باشد و UPQC بهسازی همزمان مشترکین و شبکه را می تواند انجام دهد. با توجه به خاصیت شبکه های توزیع صنعتی استفاده از D-STATCOM برای بهسازی بار در فیدرها با بار غیرخطی پیشنهاد می گردد و استفاده از DVR در سطح توزیع فشار متوسط برای حفاظت بارهای حساس الزامی است. همچنین بکارگیری UPQC برای بارهای بهسازی همزمان بار و شبکه در فیدرها یا با بار غیرخطی و حساس توصیه می گردد. نکته قابل توجه در انتخاب تجهیز مناسب، نوع اغتشاش محل اغتشاش و سطح اغتشاش، مقادیر نامی فیدر است. چون بهسازی در محل بار برای مشترکین از اهمیت بسایری برخوردار است مشکلات ناشی از کیفیت توان مشترکین را نامی توان با استفاده از D-STATCOM و UPQC کنترل نمود. بنابراین نصب این ادوات در سطح ولتاژ فشار ضعیف (۴۰۰ ولت) مناسب

می باشد. چون بهسازی در محل اغتشاش از انتشار اغتشاش به سطوح دیگر جلوگیری می کند بنابراین مشکلات ناشی از کیفیت توان شبکه را می توان در محل اغتشاش با استفاده از DVR و UPQC کنترل نمود. انتخاب این محل از همه محلها مناسب تر می باشد و بنابراین نصب DVR در سطح ولتاژ (۴۰۰ ولت و ۲۰ کیلوولت) و UPQC در سطح ولتاژ فشار ضعیف (۴۰۰ ولت) پیشنهاد می گردد.

### قدردانی و تشکر

این مقاله بخشی از نتایج تحقیقاتی است که بصورت یک پژوهشی تحت عنوان "بررسی و مقایسه عملکرد تجهیزات Custom Power برای بهبود کیفیت توان در شبکه های توزیع" شرکت برق منطقه ای تهران انجام شده است. نویسندها مقاله مراتب تشکر و قدردانی خود را از شرکت برق منطقه ای تهران برای حمایت از این پژوهه اعلام می نمایند. همچنین از معاونت نظارت بر توزیع جناب آقای مهندس همایون حائری برای ایجاد هماهنگی های لازم جهت جمع آوری اطلاعات شبکه تشکر و قدردانی می گردد.

### مراجع

- [1] Shiva Swaminathan, Rajat K.Sen, "Review of Power Quality Application of Energy Storage Systems" Contractor Report, SAND98-1513
- [2] "CUSTOM POWER - STATE OF THE ART", Report by CIGRE WG14.31.
- [3] E. Acha, V.G. Agelidis, O.Anaya-Lara, T.J.E. Miller, "Power Electronic Control in Electrical Systems" MPG Books Ltd., BODMIN, Cornwall, First Published 2002.
- [4] A.P.S. Meliopoulos, J. Kennedy, C.A. Nucci, A. Borghetti, G. Contaxis, "Power distribution practices in USA and Europe: Impact on power quality", Proceedings of 8<sup>th</sup> IEEE ICHQP, International conference on harmonics and power quality, Athens, 14-16 October 1998.
- [5] J. A. Oliver, R. Lawrence, B. B. Banerjee, "How to Specify Power-Quality-Tolerant Process Equipment" IEEE Industry Applications Magazine, Sept/Oct 2002.
- [6]. D. Woodford, "INTRODUCTION TO PSCAD V3", Manitoba HVDC Research Centre Inc., Canada, Jan 2001.
- [7]. "PSCAD®/EMTDC™ Power System Simulation Software Manual", Manitoba HVDC Research Centre, Manitoba Canada, [Online] Available: <http://pscad.com/>.
- [8] گزارش نهایی پژوهه ۳-۸۱/۳/۱ "بررسی و مقایسه عملکرد تجهیزات Custom Power برای بهبود کیفیت توان در شبکه های توزیع" دفتر تحقیقات و فناوری، شرکت برق منطقه ای تهران.

### پیوست الف

جدول (الف-۳) اطلاعات بارهای موتوری

نام خط	طول خط (کیلومتر)	مقاومت (اهم)	راکتانس (اهم)
L1	۱	۰/۱۱۵	۰/۱۰۸
L2	۲	۰/۲۲۳	۰/۲۱۶
L3	۱	۰/۱۱۵	۰/۱۰۸
L4	۱	۰/۱۱۵	۰/۱۰۸
L5	۲	۰/۲۲۳	۰/۲۱۶
L6	۰/۵	۰/۰۵۷۵	۰/۰۵۴
L7	۰/۵	۰/۰۵۷۵	۰/۰۵۴
L8	۰/۲	۰/۰۲۳	۰/۰۲۱۶
L9	۰/۲	۰/۰۲۳	۰/۰۲۱۶

جدول (الف-۱) اطلاعات ترانسفورماتورهای

نام ترانسفورماتور	ولتاژ (kV)	مقدار نامی (MVA)	UK (%)
T1	۶۳/۲۰	۳۰	۱۲
T2	۲۰/۰/۴	۰/۶۳	۶
T3	۲۰/۰/۴	۱/۶	۶
T4	۲۰/۷/۳	۱۵	۱۰
T5	۲۰/۰/۴	۱/۵	۶
T6	۲۰/۰/۵	۱۲	۱۰
T7	۲۰/۰/۴	۱/۵	۶

**جدول (الف-۴) اطلاعات بار موتوری تنظیم کننده سرعت**

نام موتور	ولتاژ (kV)	توان اکتیو (kW)	ضریب قدرت
M3	۰/۴	۱۰۰۰	۰/۹
M4	۰/۴	۱۵۰۰-۱۲۵۰	۰/۹

**جدول (الف-۲) اطلاعات خطوط**

نام موتور	ولتاژ (kV)	توان اکتیو (kW)	ضریب قدرت
M1	۷/۳	۷۱۰	۰/۸۷
M2	۷/۳	۵۰۰۰	۰/۹

**جدول (الف-۵) اطلاعات کوره قوس الکتریکی (ARC)**

نام مدل	ولتاژ (kV)	مقدار نامی (MVA)
ARC	۰/۷۰۰	۱۰

**جدول (الف-۶) اطلاعات ترانسفورماتورها**

نام ترانسفورماتور	ولتاژ (kV)	مقدار نامی (MVA)	UK (%)
T1	۷۳/۲۰	۳۰	۱۲
T2	۲۰/۰/۴	۰/۶۳	۶
T3	۲۰/۰/۴	۱/۵	۶
T4	۲۰/۰/۴	۰/۶۳۰	۶

**جدول (الف-۷) اطلاعات خطوط**

نام خط	طول خط (کیلومتر)	مقاومت (اهم)	راکانس (اهم)
L1	۱	۰/۱۱۵	۰/۱۰۸
L2	۲	۰/۲۳	۰/۲۱۶
L3	۰/۵	۰/۰۵۷۵	۰/۰۵۴
L4	۰/۵	۰/۰۵۷۵	۰/۰۵۴
L5	۰/۰۵	۰/۰۰۹	۰/۰۰۳۸۵
L6	۰/۰۵	۰/۰۰۹	۰/۰۰۳۸۵
L7	۰/۰۳	۰/۰۰۵۳۴	۰/۰۰۲۳۱
L8	۰/۰۲	۰/۰۰۳۵۶	۰/۰۰۱۵۴